

Выделение мультиграммных признаков в задачах классификации символьных последовательностей

Липатова Анна

Московский физико-технический институт
Факультет управления и прикладной математики
Научный руководитель: К. В. Воронцов

Группа 174, 2015

Цель исследования

Актуальность темы. Задача обработки и классификации символьных последовательностей является актуальной во многих сферах деятельности:

- медицина,
- биоинформатика и генетика,
- лингвистика.

Цель работы. Построить алгоритм классификации символьных последовательностей, максимизирующий значение функционала качества AUC (Area Under Curve). Сравнить с ранее используемым методом классификации.

Задача классификации символьных последовательностей

Дано:

выборка $\mathfrak{D} = \{(x_i, y_i)\}_{i=1}^p$,

объекты x_i — символьные последовательности, ответы

$y_i \in \{X_m, X_o\}$ — классы объектов.

Требуется:

- построить алгоритм классификации $a(x) : \mathfrak{D} \rightarrow \{0, 1\}$,
максимизирующий площадь под ROC-кривой AUC (Area Under Curve):

$$a = \arg \max_{a: D \rightarrow \{0, 1\}} \{AUC(a, \mathfrak{D} \setminus T)\}.$$

- сравнить качество классификации при различных методах классификации

Наивный байесовский классификатор

Линейная модель классификации имеет вид:

$$a(x) = \text{sign}\left(\sum_{j=1}^k \gamma_j f_j(x) - \beta_m\right),$$

где γ_j — вес признака f_j , β_m — порог принятия решения для класса m .

Классификация с помощью признаков — частот n -грамм

n-грамма — последовательность из n букв, встречающихся в символьной последовательности $x_i \in \mathfrak{D}$.

Частота встречаемости $p_w(x_i)$ n -граммы $w = (w_0, \dots, w_{n-1})$ в последовательности x_i :

$$r_w(x_i) = \sum_{r=1}^{N-n} \prod_{j=0}^{n-1} [s_{r+j} = w_j], \quad p_w = \frac{r_w(x_i)}{N-n},$$

где s_j — j -й символ последовательности x_i .

Рассчитав значения частот встречаемости p_1, \dots, p_k для всевозможных n -грамм, получаем признаконое описание последовательности x_i .

Формулы для настройки весов признаков

$F_w(X_m)$ — среднее число вхождений n -граммы w в символовые последовательности объектов класса X_m ,

$$F_w(X_m) = \frac{1}{|X_m|} \sum_{x_i \in X_m} p_w(S_{x_i}).$$

- $\gamma_w = 1$
- $\gamma_w = F_w(X_m)$
- $\gamma_w = F_w(X_m) - F_w(X_0)$
- $\gamma_w = \ln\left(\frac{\tilde{F}_w(X_m)}{\tilde{F}_w(X_0)}\right)$

Здесь

$$\tilde{F}_w(X_m) = \frac{1}{|X_m| + 1} \left(\sum_{S \in X_m} p_w(S) \right).$$

Настройка классификатора

Предположение

Каждый класс характеризуется своим набором п-грамм, называемым *диагностическим эталоном*.

Отбор п-грамм в диагностический эталон производится с помощью критерия информативности τ_w для данной п-граммы. Критерии информативности также можно варьировать:

- $\tau_w = F_w(X_m)$
- $\tau_w = F_w(X_m) - F_w(X_0)$
- $\tau_w = \ln\left(\frac{\tilde{F}_w(X_m)}{\tilde{F}_w(X_0)}\right)$
- $\tau_w = \left|\ln\left(\frac{\tilde{F}_w(X_m)}{\tilde{F}_w(X_0)}\right)\right|$

Классификация с помощью признаков — долей покрытия

Пусть в диагностический эталон \mathcal{D} отобрано k н-грамм.

Покрытие последовательности x_i эталоном \mathcal{D} — доля символов x_i , покрытых н-граммами эталона \mathcal{D} .

Доля покрытия θ — отношение мощности покрытия последовательности x_i к ее длине N .

Варьируя мощность \mathcal{D} , считаем доли покрытия $\theta_1, \dots, \theta_k$ — новое признаковое описание для каждого объекта.

$$r_w(x_i) = \sum_{r=1}^{N-n} \prod_{j=0}^{n-1} [s_{r+j} = w_j]$$

$$\theta_j(x_i) = \frac{|\bigcap_{i=1}^j r_{w_i}(x_i)|}{N};$$

Настройка весов для новых признаков

Вместо частоты встречаемости n -грамм $F_j(X_m)$ и $F_j(X_0)$ используем усреднение $\hat{\theta}_j$ признака θ_j по символьным последовательностям объектов класса X_m и X_0 соответственно.

$$\hat{\theta}_j(X_m) = \frac{1}{|X_m|} \sum_{x_i \in X_m} \theta_j(x_i),$$

$$\hat{\theta}_j(X_0) = \frac{1}{|X_0|} \sum_{x_i \in X_0} \theta_j(x_i).$$

Можно использовать различные формулы для настройки весов γ_{θ_j} для новых признаков и, соответственно, различные критерии информативности τ_j .

Составной алгоритм

Вход: $\mathfrak{D} = \{(x_i, y_i)\}_{i=1}^p$ — генеральная выборка;

N — количество разбиений;

l — отношение мощностей обучающей и генеральной выборок;

Выход: $\hat{AUC}(k_1, k_2)$ — зависимость AUC от количества признаков двух типов в модели;

Идея

Добавить к диагностическому эталону дополнительные признаки - доли покрытия.

Цели эксперимента

- Сравнить рассмотренные методы классификации символьных последовательностей.
- Сравнить качество классификации при различных формулах весов.
- Оценить качество классификации используемых методов классификации.

Значения долей покрытия для объектов разных классов

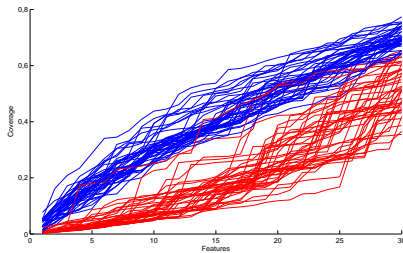


Рис.: Зависимость доли покрытия $\hat{\theta}_k$ от числа отобранных признаков k для больных ишемической болезнью сердца X_m (синяя кривая) и здоровых X_0 (красная кривая). $N=200$.

Вывод: доли покрытия можно использовать в качестве характерных признаков объектов класса больных.

Исследование близости признаков

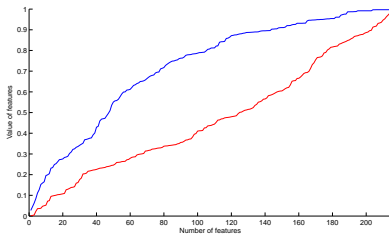
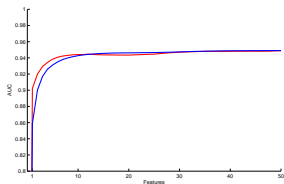


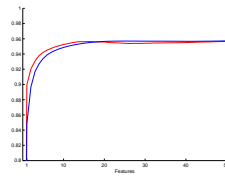
Рис.: Зависимость средней доли покрытия $\hat{\theta}_k$ (синяя кривая) и средней суммарной частоты встречаемости (красная кривая) от числа отобранных признаков k . (ИБС)

Выход: признаки отличаются друг от друга. Покрытия учитывают возможное наложение триграмм.

Оценка качества классификации объектов по триграммам и долям покрытия



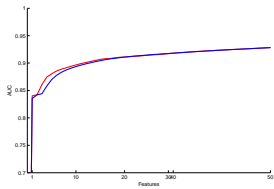
а) ИБС



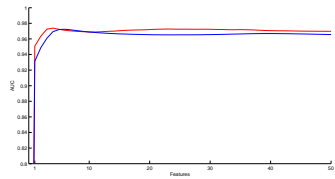
б) ЖДА

Рис.: Зависимость значения AUC при классификации с помощью триграмм (красная кривая) и долей покрытия (синяя кривая) от числа отобранных признаков k при логарифмической формуле весов. $N=700$.

Оценка качества классификации объектов по триграммам и долям покрытия



a) ДГПЖ



b) НГБК

Рис.: Зависимость значения AUC при классификации с помощью триграмм (красная кривая) и долей покрытия (синяя кривая) от числа отобранных признаков k при формуле весов $F_w(X_m) - F_w(X_0)$. $N=700$.

Оценка качества составного метода классификации

| Болезнь | AUC (част.) | AUC (доли) | AUC (состав.) |
|---------|-------------|-------------|----------------|
| ГБ | 0,9589 (50) | 0,9616 (50) | 0,9595 (47,2) |
| ДГПЖ | 0,9490 (50) | 0,9489 (50) | 0,9491 (9,45) |
| ДЖВП | 0,9250 (50) | 0,9244 (50) | 0,9251 (12,41) |
| ЖДА | 0,8761 (50) | 0,8766 (50) | 0,8766 (45,3) |
| ИБС | 0,9581 (50) | 0,9608 (50) | 0,9583 (31,23) |
| МКБ | 0,9257 (50) | 0,9252 (50) | 0,9256 (4,44) |
| НГБК | 0,9777 (50) | 0,9777 (50) | 0,9782 (32,12) |
| РО | 0,9491 (50) | 0,9482 (50) | 0,9489 (40,4) |
| Сд | 0,9572 (50) | 0,9566 (50) | 0,9572 (17,30) |
| ХГ1 | 0,9139 (50) | 0,9152 (50) | 0,9144 (3,43) |
| ХГ2 | 0,9331 (50) | 0,9290 (50) | 0,9340 (48,7) |

Выводы

По результатам проведенного эксперимента можно сделать следующие выводы:

- можно использовать доли покрытия символьной последовательности в качестве признаков;
- целесообразно добавлять признаки-покрытия к набору информативных триграмм для повышения качества классификации;
- можно варьировать формулы весов признаков и критерии информативности.

Заключение

- предложен новый метод классификации символьных последовательностей, основанный на подсчете доли покрытия символьной последовательности набором наиболее информативных n -грамм;
- предложен метод, объединяющий два вышеописанных подхода к решению задачи классификации символьных последовательностей.
- произведено сравнение новых метода классификации с методом классификации символьных последовательностей с помощью подсчета частоты встречаемости n -грамм;